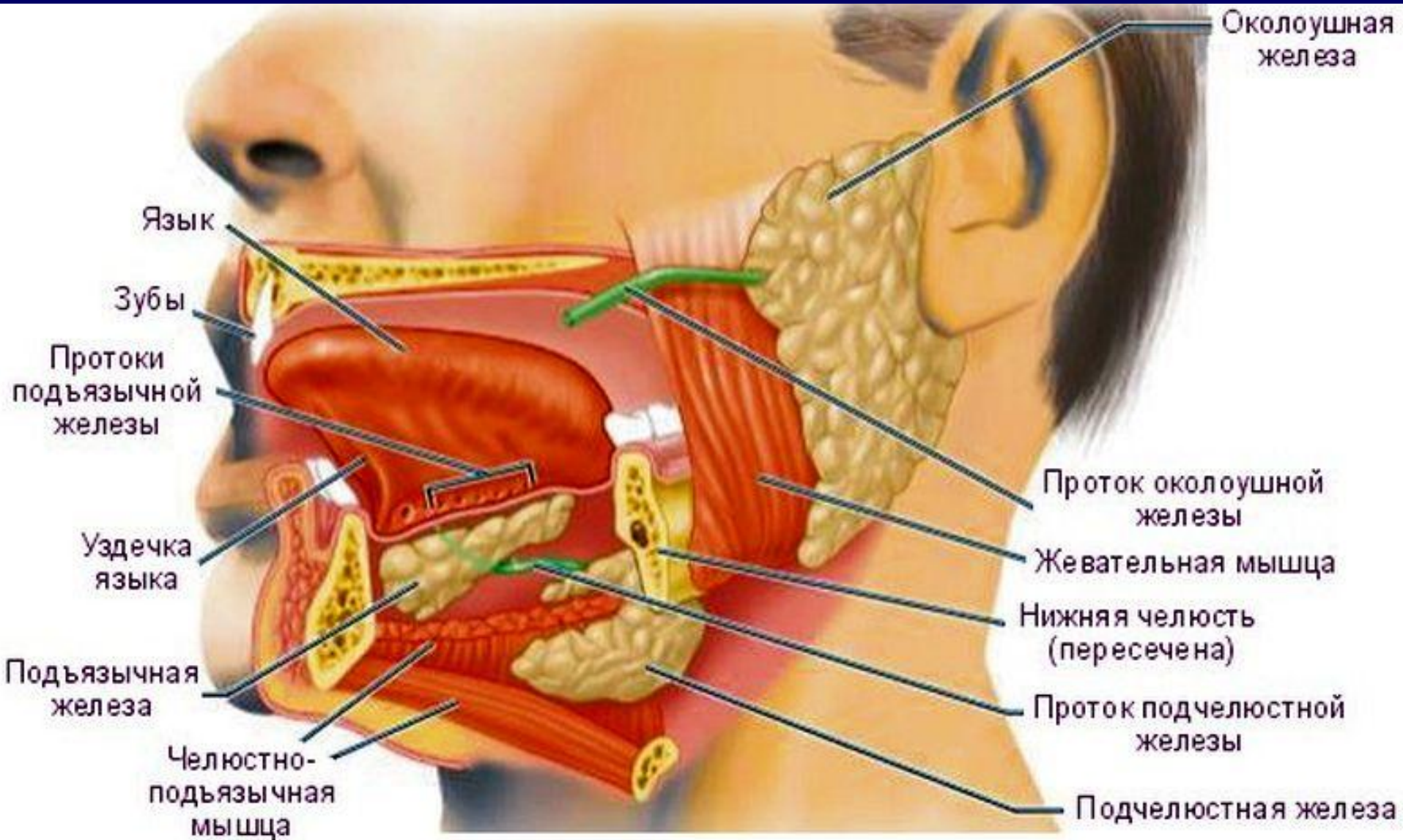


BIOCHIMIE DE LA SALIVE ET DES TISSUS DE LA CAVITÉ BUCCALE

GLANDES SALIVAIRES



COMPOSANTS INORGANIQUES DE LA SALIVE MIXTE (mmol/l)

Na⁺	6,6 - 24,0
K⁺	12-25
Cl⁻	11-20
Ca общ.	0,75 - 3,0
Фн	2,2 - 6,5
Фобш	3,0-7,0
HCO₃⁻	20 - 60
SCN⁻ (тиоцианаты)	0,5-1,2
Cu²⁺	0,3
I⁻	0,1
F⁻	0,001-0,15

MICELLE SALIVAIRE

noyau

couche adsorptive



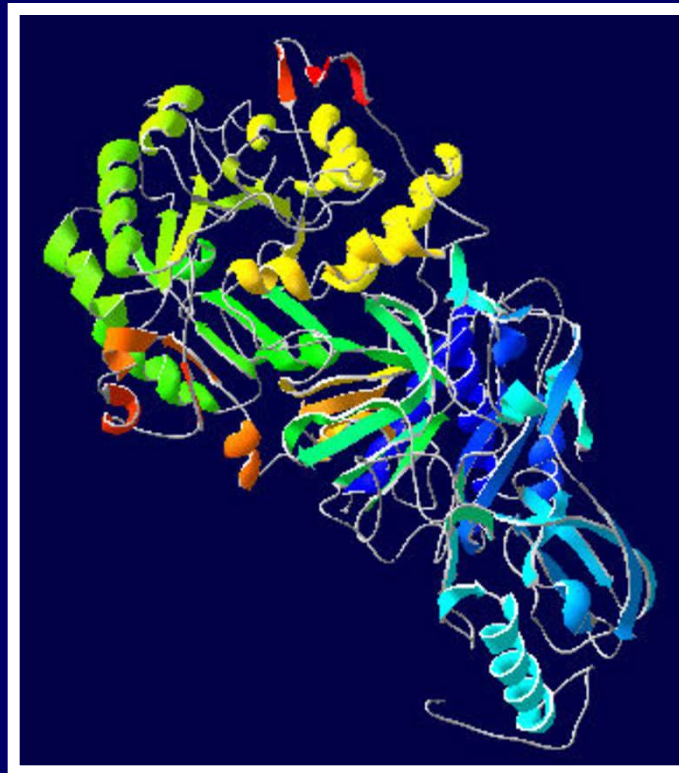
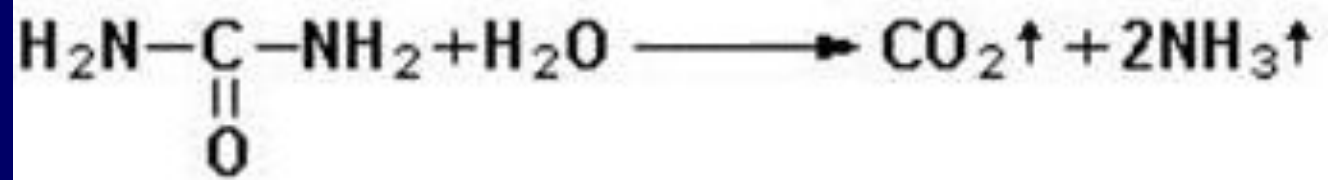
agrégat

**ions déterminant
le potentiel**

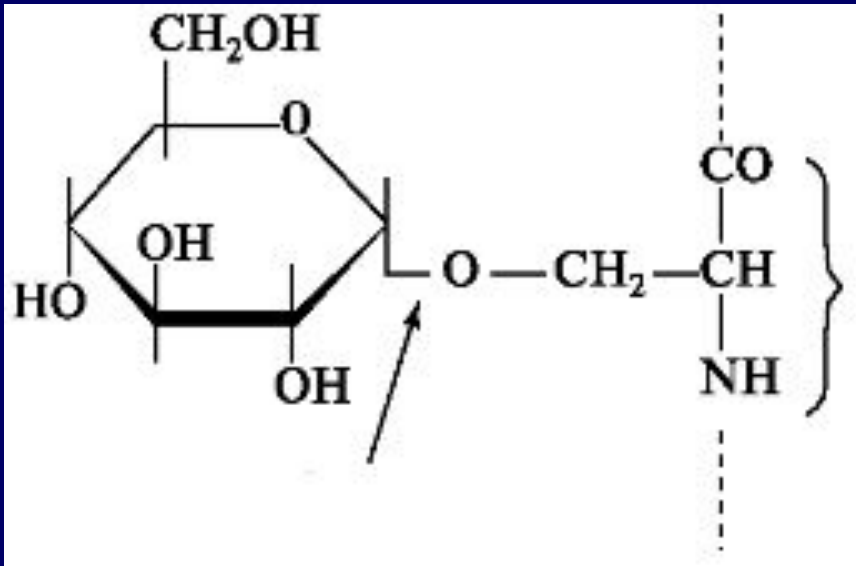
**couche solide
des
contre-ions**

**couche diffuse
des contre-ions**

URÉASE



MUCINE

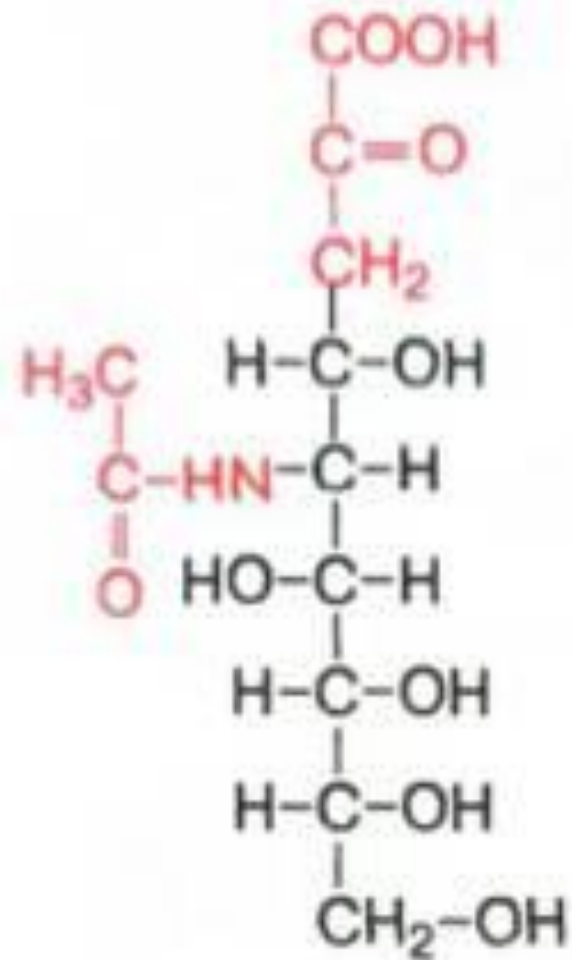
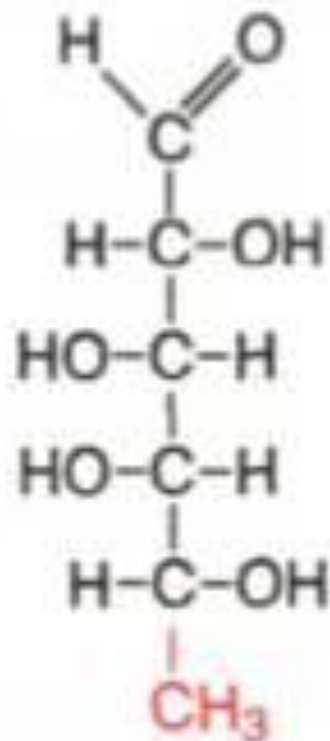
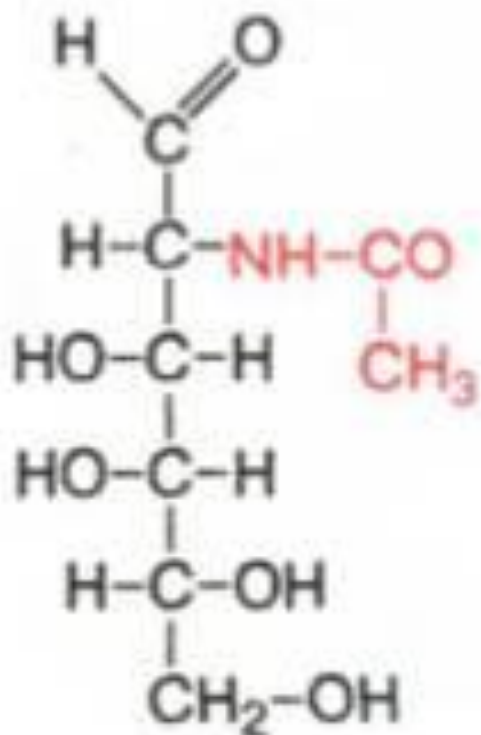


résidu de sérine

chaîne polypeptidique

**liaison
O-osidique**



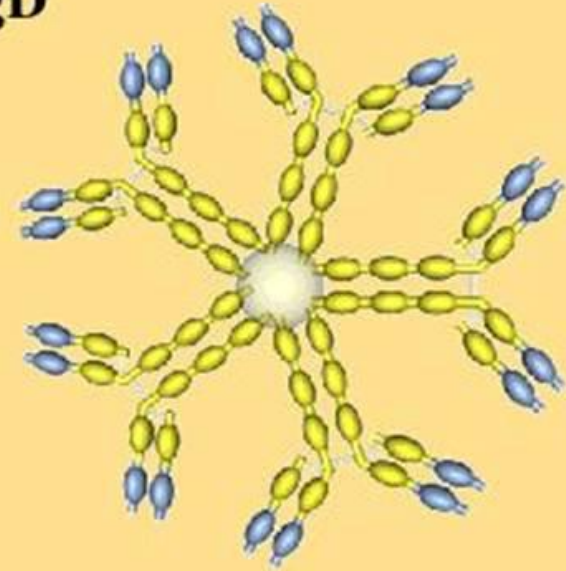
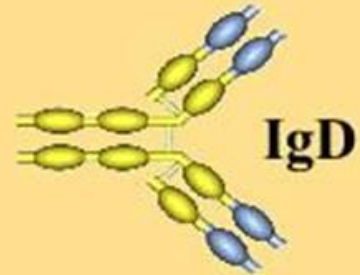
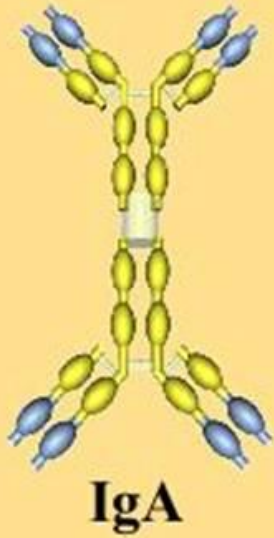


N-acétyl-galactosamine

L-fucose

acide sialique

IMMUNOGLOBULINES



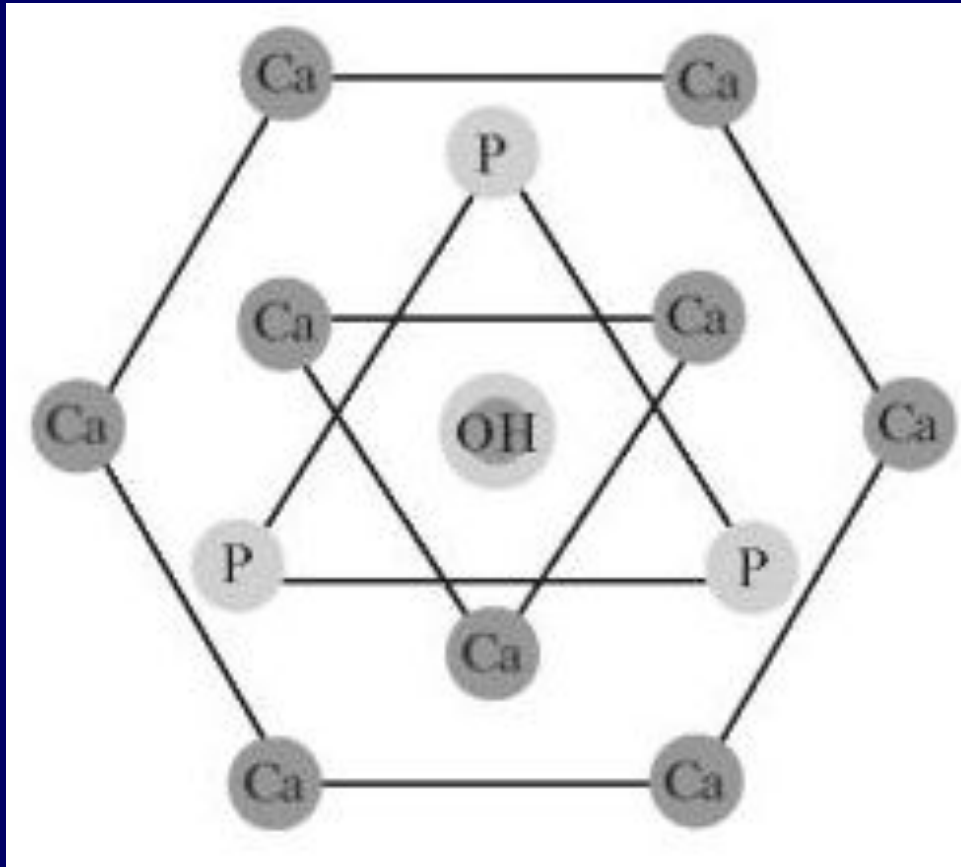


PULPE

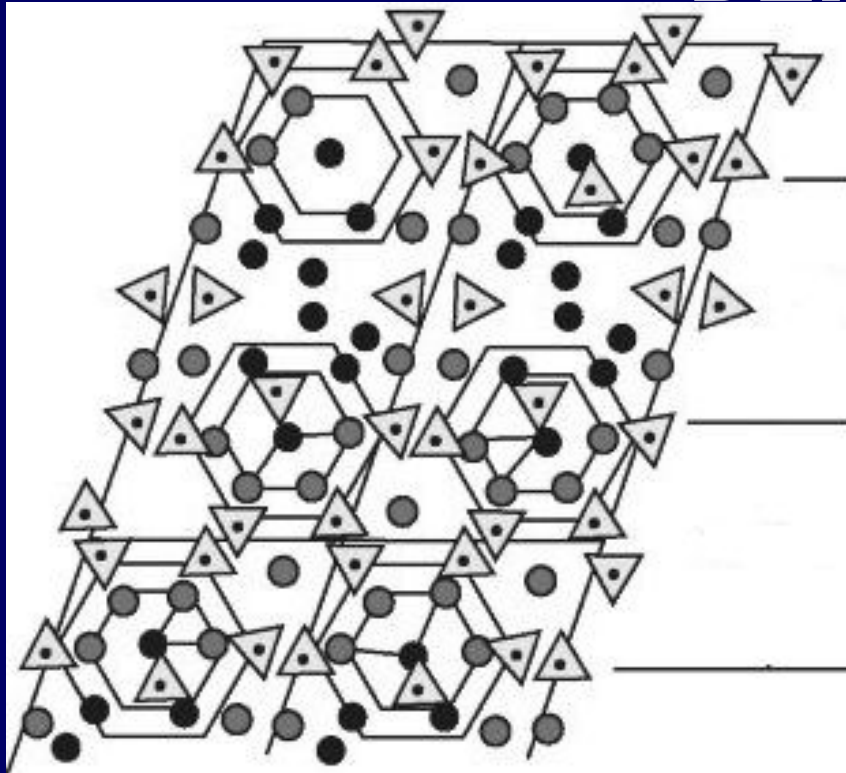


**ÉMAIL
DENTAIRE**

FORME HEXAGONALE D'UNE MOLECULE D'HYDROXYAPATITE



LOCALISATION DE CRISTAUX D'HYDROXYAPATITE DANS L'ÉMAIL DENTAIRE



couche hydratée

**couche de cristaux
d'hydroxyapatite**



calcium



phosphore

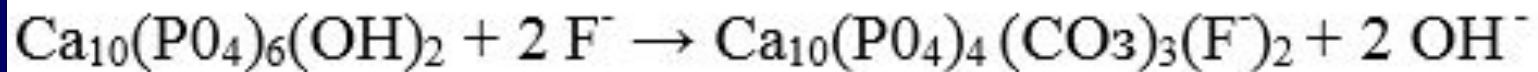
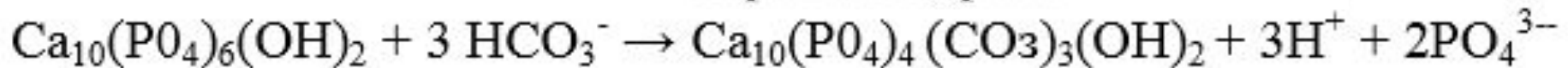
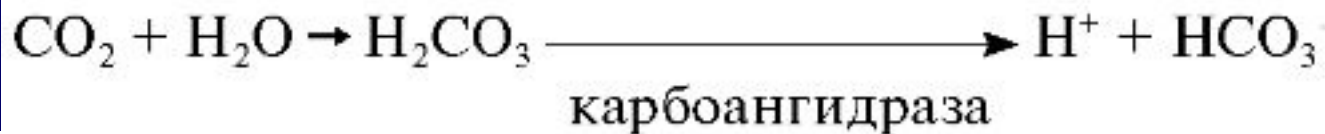
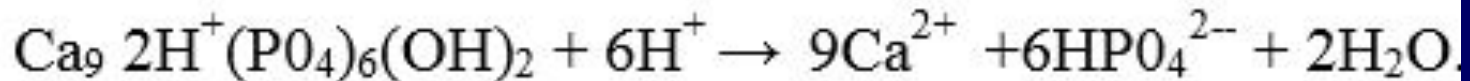
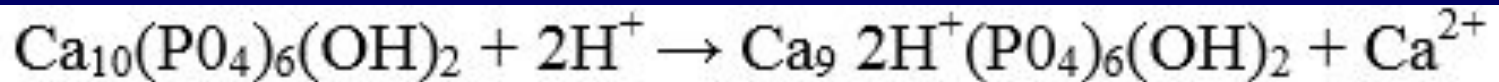
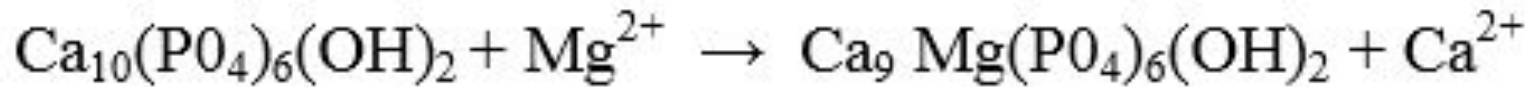


phosphate

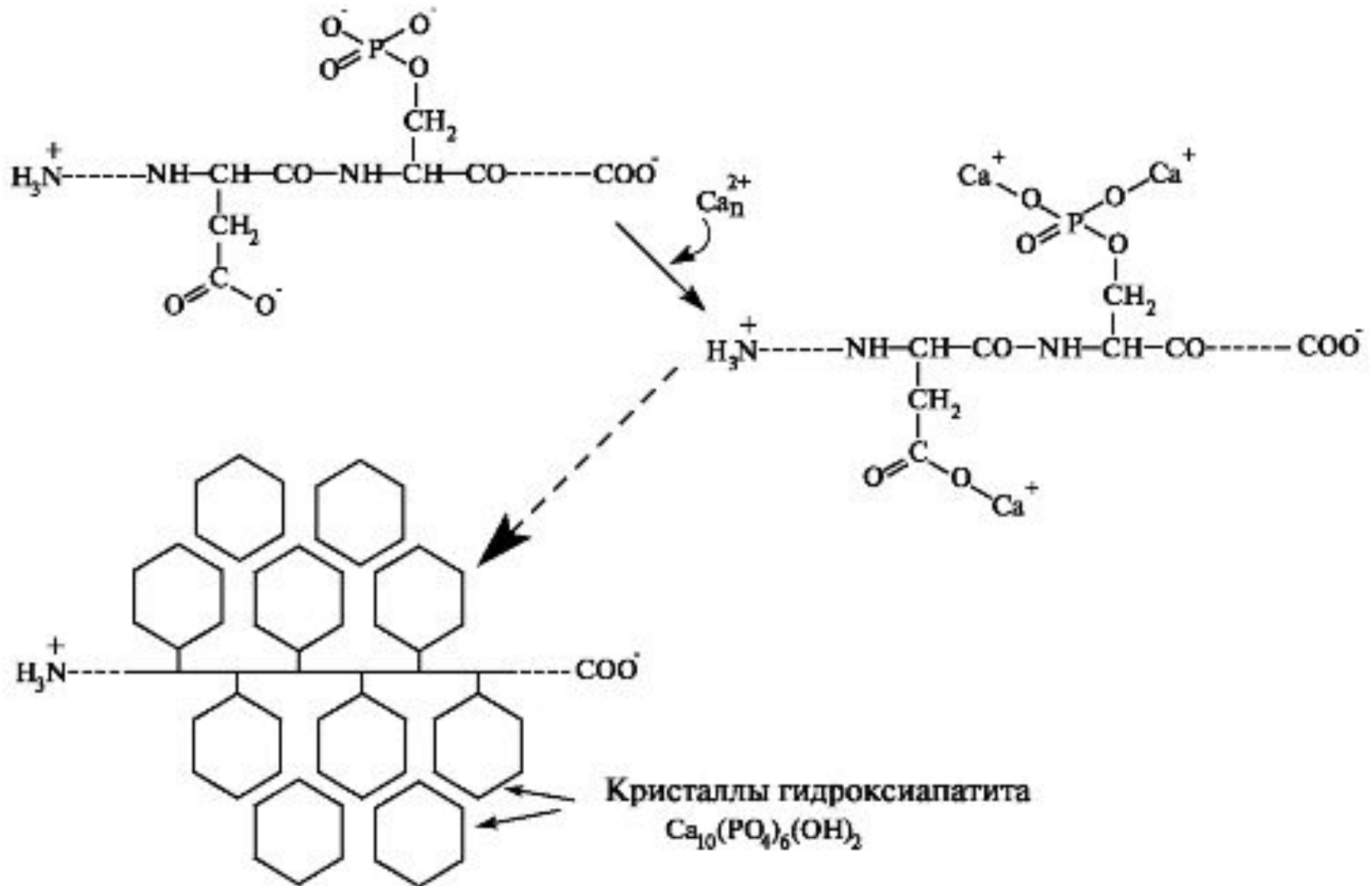


**oxygène d'une
molécule d'eau**

ÉCHANGE D'IONS DANS L'HYDROXYAPATHITE



MATRICE D'ÉMAIL DENTAIRE



MÉCANISME DE GENÈSE DE L'ÉMAIL

ectoderme



préénaméloblastes



énaméloblastes



synthèse d'énamélines et d'amélogénines



**protéolyse limitée des énamélines à prédominance
avec le déploiement de la chaîne polypeptidique et
l'ouverture du centre d'initiation de la
minéralisation et avec dégénérescence partielle
des énaméloblastes**



début de la minéralisation



perte totale d'énaméloblastes



fin de la minéralisation



ткани	Количество органических веществ		
	% от общего состава / % от органических веществ		
	Коллаген-1	Протеогликаны	Неколлагеновые белки и фосфолипиды
Костная	28 / 90,3	0,2 / 0,7	2,8 / 9,0
Цемент	25 / 92,6	0,2 / 0,8	1,8 / 6,7
Дентин	19 / 95	0,1 / 0,5	0,9 / 4,5